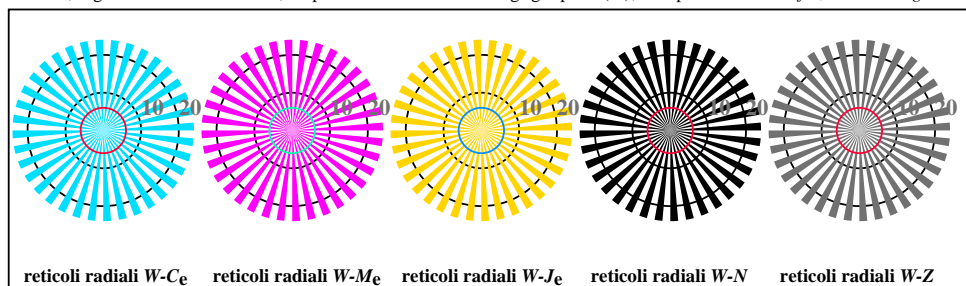
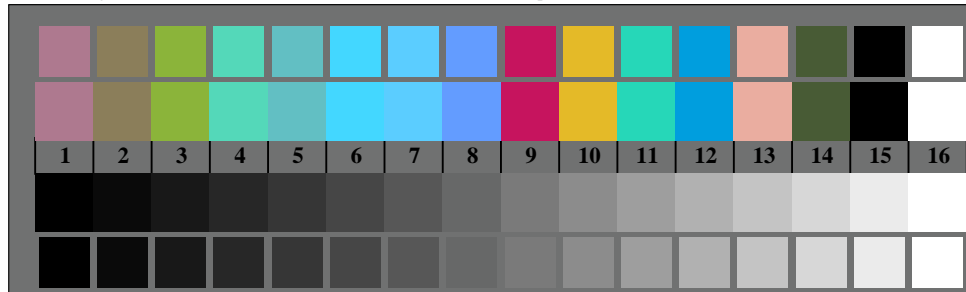


AI270-3, Fig. B1Wde: Flower motif, 14 prova colori CIE e 2 + 16 grigio passi (nf); PS operator: settransfer, 3 colorimage



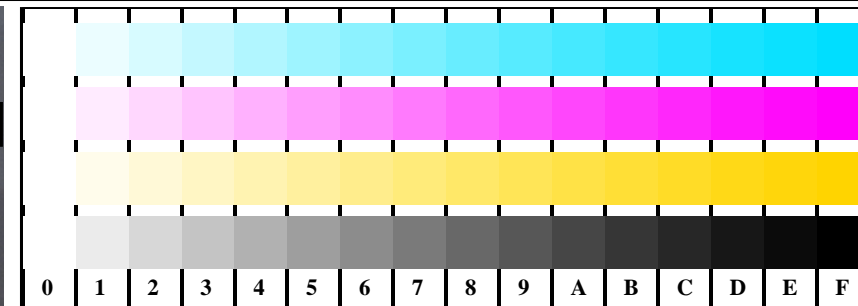
AI270-5, Fig. B2Wde: reticolli radiali W-C<sub>e</sub>; W-M<sub>e</sub>; W-J<sub>e</sub>; W-N; PS operator:  $rgb \rightarrow rgb_{de}$  setrgbcolor



AI270-7, Fig. B3Wde: 14 prova colori CIE i 2 + 16 grigio passi (sf);  $rgb/cm\text{y}0 \rightarrow rgb_{de}$  setrgbcolor

Grafico AI27 conformemente a grafico 2 a ISO/IEC 15775  
 Tavola dei colori cromatici CMYK

iscrizione TUB: 20190301-AI27/AI27L0FA.TXT/.PS  
 Application per la misura dell'output di display et output di stampa

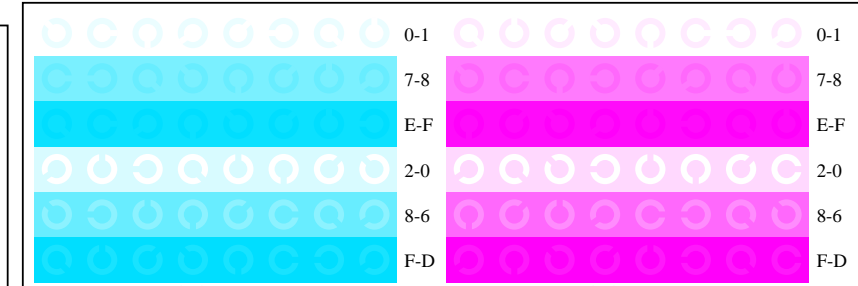


AI271-1, Fig. B4Wde: 16 equidistante passi W-C<sub>e</sub>; W-M<sub>e</sub>; W-J<sub>e</sub>; W-N;  $rgb/cm\text{y}0 \rightarrow rgb_{de}$  setrgbcolor

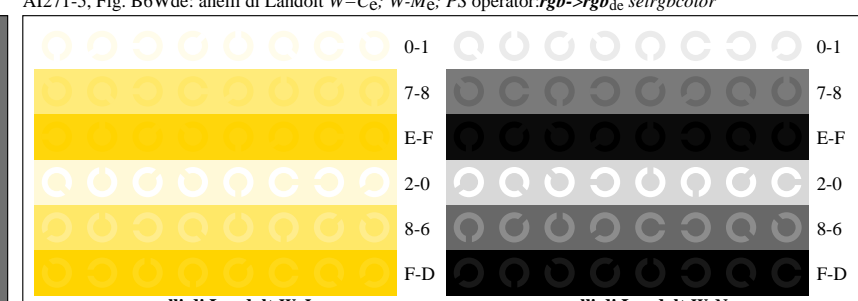
++..	C	lmno	0	pqrs	tuvw	tuvw
xyz;	C	hijk	0	pqrs	lmno	lmno
tuvw	C	defg	0	hijk	defg	defg
pqrs	C	!abc	0	!abc	xyz;	xyz;
lmno	C	+-.	0	+-.	tuvw	tuvw
hijk	C	xyz;	0	xyz;	defg	defg
defg	C	tuvw	0	tuvw	!abc	!abc
!abc	C	pqrs	0	pqrs	defg	defg
10	N	N C <sub>e</sub> M <sub>e</sub> Y <sub>e</sub> Z	8	N C <sub>e</sub> M <sub>e</sub> Y <sub>e</sub> Z	N C <sub>e</sub> M <sub>e</sub> Y <sub>e</sub> Z	N C <sub>e</sub> M <sub>e</sub> Y <sub>e</sub> Z

TUB materiale: code=rha4ta

AI271-3, Fig. B5Wde: codice i Landolt anelli N; C<sub>e</sub>; M<sub>e</sub>; Y<sub>e</sub>; Z; PS operator:  $rgb \rightarrow rgb_{de}$  setrgbcolor



AI271-5, Fig. B6Wde: anelli di Landolt W-C<sub>e</sub>; W-M<sub>e</sub>; PS operator:  $rgb \rightarrow rgb_{de}$  setrgbcolor



AI271-7, Fig. B7Wde: anelli di Landolt W-J<sub>e</sub>; W-N; PS operator:  $rgb \rightarrow rgb_{de}$  setrgbcolor

Input:  $rgb/cm\text{y}0/000n/w$  set...  
 Output:  $\rightarrow rgb_{de}$  setrgbcolor

